

Original Article

Cytosolic Localization of Mouse Peroxisomal Protein/ Δ SKI Fused with Enhanced Green Fluorescent Protein into Chinese Hamster Ovary-K1 and P19 Cells

Maryam Ostadsharif, M.Sc.¹, Kamran Ghaedi, Ph.D.^{2,3*}, Mohammad Hossein Nasr Esfahani, Ph.D.^{2*}, Somayeh Tanhaie, M.Sc.², Khadijeh Karbalaii, M.Sc.², Kazem Parivar, Ph.D.¹, Hossein Baharvand, Ph.D.^{2,4,5}

1. Islamic Azad University (IAU), Science and Research Branch, Tehran, Iran
2. Cell and Molecular Biology Department, Royan Institute for Animal Biotechnology, ACECR, Isfahan, Iran
3. Biology Department, School of Sciences, University of Isfahan, Isfahan, Iran
4. Developmental Biology Department, University of Science and Culture, ACECR, Tehran, Iran
5. Stem Cells and Developmental Biology Department, Royan Institute for Stem Cell Biology and Technology, ACECR, Tehran, Iran

* Corresponding Addresses: P.O.Box: 19395-4644, Cell and Molecular Biology Department, Royan Institute for Animal Biotechnology, ACECR, Isfahan, Iran
Emails:kamranghaedi@royaninstitute.org
mh.nasr-esfahani@royaninstitute.org

Received: 3/Aug/2008, Accepted: 28/Dec/2008

Abstract

Objective: Amino acid alignment analysis of deduced amino acid residues revealed a tripeptide (SKI) at the carboxy terminus of peroxisomal protein cDNA. In order to see the importance of the above sorting signal, we have performed a site-directed mutagenesis to delete SKI tripeptide and its transfection into CHO-K1 and P19 cells.

Materials and Methods: In order to create the appropriate site-directed mutant, PCR was done with specific primers. Amplified PeP cDNAs either containing SKI or deleted ones were constructed downstream of EGFP cDNA under regulation of the cytomegalovirus (CMV) promoter in a pEGFP-C1 vector. Transfection of P19 and CHO cells was done with lipofectamine2000.

Results: Gradient PCR showed that the best annealing temperature was 71.6 °C. Transfection of plasmids containing chimera of EGFP-PEP cDNAs into the CHO-K1 and P19 cells showed several punctuate structures, presumably peroxisomes, while SKI deletion showed a cytosolic mislocalization of the EGFP pattern.

Conclusion: Taken together, these data strongly suggest that SKI, which is located at the C-terminus of the protein, is required for sorting this protein.

Keywords: Peroxisomal Protein, Peroxisome Targeting, Signal Peptide

Yakhteh Medical Journal, Vol 11, No 2, Summer 2009, Pages: 154-159

جهت گیری سیتوزولی پراکسیزومال پروتئین موشی فاقد تری پپتید SKI متصل به پروتئین سبز فلورسنت در سلول‌های CHO-K1 و P19

مریم استادشریف.^۱ M.Sc., کامران قائیی.^۲ Ph.D., محمد حسین نصراصفهانی.^۳ M.Sc., سعیده تقی‌نیا.^۴ خدیجه کربلاجی.^۵ M.Sc., کاظم پریور.^۶ Ph.D., حسین بهاروند.

۱. دانشگاه آزاد اسلامی، واحد علوم و تحقیقات تهران، تهران، ایران
۲. پژوهشکده رویان، مرکز تحقیقات علوم سلولی جهاددانشگاهی، گروه زیست شناسی سلولی و مولکولی، اصفهان، ایران
۳. دانشگاه اصفهان، دانشکده علوم، گروه زیست شناسی، اصفهان، ایران
۴. دانشگاه علم و فرهنگ، گروه زیست تکوینی، تهران، ایران
۵. پژوهشکده رویان، مرکز تحقیقات علوم سلولی جهاددانشگاهی، گروه سلول‌های بنیادی و زیست شناسی تکوینی، تهران، ایران

* آدرس نویسنده مسئول: ایران، اصفهان، صندوق پستی: ۴۶۴۴-۱۹۳۹۵، پژوهشکده رویان، مرکز تحقیقات علوم سلولی جهاددانشگاهی، گروه زیست شناسی سلولی و مولکولی

Emails:kamranghaedi@royaninstitute.org
mh.nasr-esfahani@royaninstitute.org

دریافت مقاله: ۸۷/۵/۱۳، پیغامبر مقاله: ۸/۱/۰۷

چکیده

* هدف: آنالیز اسیدآمینه‌ای ژن پراکسیزومال پروتئین نشان می‌دهد که در انتهای کربوکسیل در این سازه قلمرو SKI وجود دارد. به منظور یافتن اهمیت این بخش، از طریق ایجاد موتاسیون هدف‌دار تری پپتید SKI حذف گردید و در سلول‌های CHO-K1 و P19 ترانس‌کفت گردید.

* مواد و روش‌ها: به منظور ایجاد سازه جهش یافته مورد نظر PCR با استفاده از پرایمرهای مناسب صورت گرفت. موتابت حاصل در فروdest ژن EGFP تحت کنترل پروموتر CMV قراردادشت. پس از تعیین توالی با کمک لیپوفکتامین ۲۰۰۰ به درون سلول‌های CHO-K1 و P19 ترانس‌فکت گردید.

* یافته‌ها: گرادیان دمایی PCR نشان می‌دهد که بهترین دمای اتصال، ۷۱/۶ درجه است. ترانس‌فکت نمودن الگوی EGFP-PeP EGFP-PeP/ΔSKI پس از ترانس‌فکت نمودن الگوی یکنواخت سبز رنگ دارد.

* نتیجه‌گیری: با توجه به نتایج به دست آمده مشخص می‌شود که در انتهای کربوکسیل پروتئین برای ورود به پراکسیزوم لازم و ضروری است.

* کلیدواژگان: پپتیدنشانه، پراکسیزومال پروتئین، سیگنال هدف یابی

فصلنامه پژوهشی یاخته، سال یازدهم، شماره ۲، تابستان ۸۸، صفحات: ۱۵۴-۱۵۶

مقدمه

شده و بر روی پلی‌ریبوزوم‌های آزاد ترجمه می‌گردد؛ سپس به درون پراکسیزوم‌هایی که از قبل در سیتوزول وجود داشته‌اند منتقل می‌گردد (۹). عملده پروتئین‌های ماتریکس پراکسیزومی برای ورود نیازمند دارای PTS (Peroxisomal Targeting Signal) می‌باشد (۱۰).

PTS1 در انتهای کربوکسیل و PTS2 در انتهای آمینی قرار دارد. این سیگنال‌ها توسط گیرنده‌های خاص سیتوزولی شناسایی می‌شوند: Pex5p برای پروتئین حاوی PTS1 و Pex7p برای پروتئین‌های دارای PTS2 به عنوان گیرنده عمل می‌کند (۱۱). یک موتیف سه اسید آمینه‌ای با ترادف توافق شده SKL (سرین-لیزین-لوسین) می‌باشد (۱۲)، در حالی که PTS2 یک ترادف نه اسید آمینه‌ای در انتهای آمینی یا در بخش میانی پروتئین است. ترادف PTS2 به صورت زیر است: (۱۳).

در مورد انتقال پروتئین‌های غشای سلول در پراکسیزوم اطلاعات اندکی وجود دارد. این پروتئین‌ها واجد سیگنالی به نام mPTS (Membrane Peroxisomal Targeting Signal) هستند. دارای مجموعه‌ای از اسیدهای آمینه با بار مشتب می‌باشد که شباهت زیادی به ترادف‌های عرض گذر (Transmembrane) دارد (۱۴).

پراکسیزوم‌ها اولین بار در سال ۱۹۵۴ کشف شدند و میکروبادی نام گرفتند، اما در سال ۱۹۶۵ فعالیت پراکسیزومی میکروبادی‌ها شناسایی شد و ساختار فوق پراکسیزوم نام گرفت (۱۵). پراکسیزوم‌ها از جمله ارگانل‌های سلول‌های یوکاریوتیک می‌باشند که طیف وسیعی از عملکردها را بر عهده دارند (۱۶). فعالیت‌های متابولیک پراکسیزوم شامل β -اکسیداسیون اسیدهای پلاسمالوژن‌ها، ایزوپرپرتوئیدها، متابولیسم پورین‌ها و پیریمیدین‌ها، کاتابولیسم پلی‌آمین‌ها، D-آمینواسیدها و متابولیزم پیریدین‌ها، عملکردی پروکسیزوم‌ها در بیماری‌های ژنتیکی از قبیل سندرم زلوگرمشخص می‌شود (۱۷).

بیوژنر پراکسیزوم یک فرایند پیچیده چند مرحله‌ای است که توسط گروهی از پروتئین‌ها تحت عنوان پراکسین (Pexin) هدایت می‌شود (ژن پروتئین پراکسین PEX نامیده می‌شود) (۱۸). تاکنون حدود ۳۲ ژن PEX شناسایی شده است (۱۹). از آنجایی که پراکسیزوم فاقد هرگونه ماده ژنتیکی است، پروتئین‌های آن توسط ژن‌های هسته‌ای کد

ساخت پلاسمید بیانی حامل EGFP-PeP/ΔSK1

محصول PCR پس از تخلیص از ژل توسط کیت Gel Extraction (QIAGEN) مورد هضم توسط آنزیم‌های *Sal*I و *Bgl*II (TaKaRa) (Fermentas) قرار گرفت. همچنین EGFP-C1 نیز توسط دو آنزیم محدودالاثر فوق‌الذکر برش EGFP-C1 به درون پلاسمید PeP/ΔSK1 قطعه؛ آنگاه الحق قطعه صورت پذیرفت. پلاسمید نوترکیب توسط kit TaKaRa ligation به درون باکتری‌های competent TOP¹⁰ (Invitrogen) حاصل شد. از بین کلونی‌های رشد کرده بر روی روش شوک حرارتی وارد شدند. از بین کلونی‌های ۳۰ میکروگرم در هر میلی لیتر محیط کشت 2YT حاوی کاتامایسین (Cefotaxime) انتخاب گردیده و پس از اطمینان از وجود پلاسمید نوترکیب در داخل آنها جهت تعیین توالی به کمپانی Bioneer (کره جنوبی) ارسال گردیدند.

تعیین توالی DNA

برای تعیین توالی پلاسمید نوترکیب وارد شده به کلونی‌های باکتری‌ای از دو پرایمر (۱۶) EGFP-C1 F و (۱۶) R استفاده گردید.

طراحی پرایمر

طراحی پرایمر با توجه به توالی‌های PEP cDNA (NM-027402)، GenBank، پلاسمید #6084-1 (Clontech, catalog #6084-1) و با استفاده از نرم‌افزار 6.2⁶ Oligo انجام شد. پرایمرهای سترشده از شرکت Pioneer با واسطه شرکت تکاپوزیست خریداری شد.

کشت سلولی و ترانس‌فکت نمودن آنها

رده سلولی CHO از پژوهشکده رویان تهران تهیه گردید. سلول‌های CHO در محیط کشت (Sigma) Ham's F12 (Sigma) حاوی FCS و دمای ۳۷ درصد CO_2 (Gibco) در انکوباتور با ۵ درجه سانتی گراد و رطوبت ۹۵ درصد کشت داده شد. پس از مفروش شدن کف فلاسک، سلول‌ها به کمک تریپسین حاوی (Gibco) از کف دیش جدا شده و پس از شمارش سلولی، تعداد ۱۵۰۰۰ سلول در هر خانه دیش‌های ۲۴ خانه که از قبل لامل گذاری (لامل ۲۴×۲۴ میلی‌متر) شده بودند، کشت داده شد. پس از اینکه سلول‌ها ۵۰–۶۰ درصد کف دیش را پر کردن، سپس بر اساس دستورالعمل (Inv) Lipofectamine 2000 ۰.۵ µl میکرو‌سکوپ فلورسنت (Red) انجام شد. نتایج با استفاده از میکرو‌سکوپ فلورسنت Olympus BX5 مشاهده شد.

برای کشت سلول‌های P19 همه مراحل مانند سلول‌های CHO بود اما ترکیب محیط کشت این سلول‌ها به صورت زیربود: DMEM (Gibco) حاوی ۱۰٪ FBS سلول‌ها در انکوباتور با ۵ درصد CO_2 و دمای ۳۷ درجه سانتی گراد و رطوبت ۹۵ درصد کشت داده شدند.

یکی از پروتئین‌های ماتریکس پراکسیزومی که در سال ۲۰۰۲ توسط فرمانیز و همکارانش کلون گردید، پروتئین پراکسیزومی به نام PeP (Peroxisomal Protein) می‌باشد. از جمله خصوصیات این پروتئین، افزایش بیان در طی میوژن و تمایز مغز جنبین موش است (۱۴). آنالیز اسید آمینه‌ای نشان از وجود چندین قلمرو در این پروتئین است: دو ناحیه هیدروفویک که یکی بین اسید آمینه ۱۲ (آلانین) تا اسید آمینه ۳۱ (پرولین) و دیگری بین اسید آمینه ۱۵۲ (آلانین) تا اسید آمینه ۳۱ (پرولین) وجود دارد. قلمرو فیبرونکتین تیپ III (Fibronectin Type III Domain) از اسید آمینه ۳۱–۱۱۴ (فینل آلانین) ساخته شده است که به عنوان سیگنال پتید در انتهای کربوکسیل پروتئین قرار داشته و شباهت به SKL دارد (۱۴). هدف از این مطالعه، بررسی اهمیت قلمرو تری‌پتید SKI در انتقال این پروتئین به داخل پراکسیزومی باشد به طوری که با حذف SKI و ساخت سازه موتاسیونی مورد نظر، جهت‌گیری داخل سلولی آن با ترانس‌فکت به درون سلول‌های CHO-K1 و P19 این سنجش انجام پذیرفت.

مواد و روش‌ها

این پژوهه در کمیته اخلاق پژوهشکی پژوهشکده رویان بررسی و عدم تعارض آن با مطالعات دیگر به تایید رسیده است.

ساخت موتانت ΔSK1

برای ساخت سازه مورد نظر از روش ایجاد موتاسیون هدف دار استفاده شد (۱۵). در این مطالعه از یک جفت پرایمر برای PCR یک مرحله‌ای مورد استفاده قرار گرفت. الگو مورد استفاده cDNA می‌باشد که در آزمایشگاه مولکولی پژوهشکده رویان، پایگاه تحقیقاتی اصفهان کلون گردید (۱۶). به منظور بدست آوردن دمای بهینه اتصال در انجام PCR از شرایط شیب دمایی (Gradient) مرحله اتصال از محدوده دمای ۷۱/۶ درجه سانتی گراد و ۵۹/۶ درجه سانتی گراد استفاده گردید.

DSTORالعمل PCR مورد استفاده جهت تکثیر قطعه PEP cDNA/ΔSK1 بر پایه دستگاه Eppendorf Mastercycler Gradient به شرح زیر انجام گرفت: دمای واسرت ۹۴ درجه سانتی گراد به مدت ۶۰ ثانیه (به استثنای مرحله اول که ۳ دقیقه می‌باشد)، دمای اتصال ۶۵ درجه سانتی گراد با زمان ۶۰ ثانیه و دمای تکثیر ۷۷ درجه سانتی گراد ۱۲۰ ثانیه در طی ۳۵ دور بود. در پایان، واکنش پس از دمای ۷۷ درجه سانتی گراد به مدت ۱۰ دقیقه خاتمه یافت.

مواد مورد نیاز جهت PCR شامل PEP cDNA با غلظت ۵۰ نانوگرم در میکرولیتر، ۱۰X PCR Buffer به میزان ۲/۵ میکرولیتر، ۵ پیکومولار از هر پرایمر:

Forward: 5' ATTAGATCTCCCCAGGGCGTGCAC 3'
با دمای ۷۷ درجه سانتی گراد: Tm و جایگاه *Bgl*II در انتهای ۵' ۱۰ Reverse: Reverse: 5' ATAGTCGACTCAGCGGAGGAGACCCCCACC 3'
با دمای ۷۷ درجه سانتی گراد: Tm و جایگاه *Sal*I در انتهای ۵' پرایمر، dNTP به میزان ۱۰ نانو مولار، Pfu DNA polymerase به اندازه ۲/۵ واحد، مبایقی واکنش dH₂O تا به حجم ۲۵ میکرولیتر اضافه گردید. محصولات PCR بر روی ژل آگارز ۱ درصد الکتروفورز شدند.

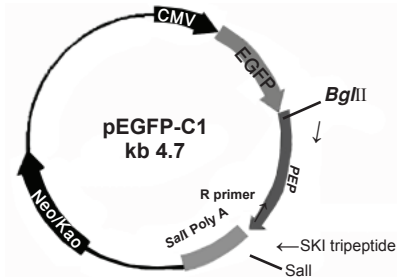
از ژل محصول مورد نظر و پلاسمید EGFP-C1 به طور جداگانه توسط آنزیمهای محدود کننده *Bgl*II و *Sall* مورد هضم آنزیمی قرار گرفتند. پس از ترانس فرماسیون باکتری از میان حدود ۶۰-۷۰ کلونی ایجاد شده، ۲۰ کلونی جهت تأیید وجود پلاسمید نوترکیب مورد آزمایش PCR قرار گرفت. از میان دو کلونی باکتریایی حاوی پلاسمید نوترکیب جهت استخراج پلاسمید انتخاب و پلاسمیدهای نوترکیب برای تعیین توالی ارسال گردیدند که صحت ساخت سازه‌های پلاسمیدی تأیید گردد.

ترانس فکت نمودن برای پلاسمیدهای EGFP-C1/EGFP-PEP و CHO-K1 PEPΔSKI EGFP C1/EGFP-PEPΔSKI به درون سلول‌های P19 و CHO-K1 نتایج حاصل از ترانس فکت نمودن EGFP-C1 به درون سلول‌های P19 و CHO-K1 نشان دهنده الگوی سبز رنگ سیتوپلاسمی یکنواختی در سلول‌های ترانس فکت شده بود (شکل ۲: a, D, A) به دنبال ترانس فکت نمودن سلول‌های ۱۹ و P19 و CHO توسط پلاسمید EGFP-PeP الگوی سبز رنگ نقطه‌دار مربوط به انتقال پروتئین به داخل اندامک‌های پراکسیزوم مشاهده گردید (شکل ۲: b, E, B, E). انتقال این پروتئین به داخل اندامک پراکسیزوم از طریق رنگ آمیزی اختصاصی در سلول‌های CHO-K1 با استفاده از آنتی‌بادی آنتی-کاتالاز تأیید گردید (شکل ۲: b). هنگامی که سازه پلاسمیدی EGFP C1/EGFP-PEPΔSKI به درون سلول‌های P19 و CHO ترانس فکت گردید، الگوی سیتوپلاسمی مشابه C1 دیده شد. زیرا هیبرید حاصل در بخش کربوکسیل دارای ساختمان PeP قادر نبود ایجاد انتها ای SKI باشد (شکل ۲: C, F).

یافته‌ها

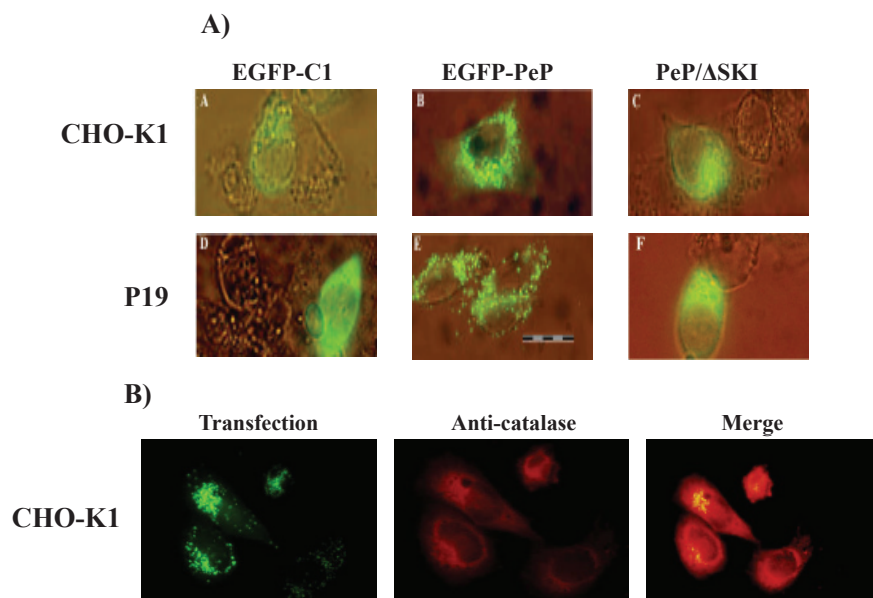
تکثیر ژن هدف

با توجه به شکل PEP cDNA که در پایین دست ژن EGFP قرار دارد، برای طراحی پرایمر، ابتدا و انتهای ژن مد نظر قرار گرفته شد.



شکل ۲: شکل شماتیک مربوط به پلاسمید EGFP-C1 که تحت کنترل Promoter CMV است. درین جایگاه آنزیمی *Bgl*II، cDNA و *PEP* قرار گرفته است. این پلاسمید دارای ژن مقاومت به کاتامایسین و نؤمایسین است.

برای طراحی پرایمر Reverse حذف تریپتید SKI لحاظ گردید. بر اساس PCR انجام شده برایه شبیه دمایی از دمای اتصال ۵۹/۶ درجه سانتی گراد بهترین دمای اتصال جهت انتقال PCR ۷۱/۶ درجه سانتی گراد برآورد شد. اما پس از انتخاب دمای اتصال ۶۵ درجه سانتی گراد، تکثیر قطعه مورد نظر صورت پذیرفت. طول محصول ایجاد شده ۶۴۰ جفت باز بوده که پس از تخلیص



شکل ۲: ترانس فکت نمودن مؤقت EGFP C1/EGFP-PEP و EGFP C1/EGFP-PEPΔSKI در سلول‌های CHO-K1 و P19 (D).
a: الگوی سبز رنگ یکنواخت ناشی از ترانس فکت نمودن EGFP-C1 در سلول‌های CHO (A) و سلول‌های P19 (D) می‌باشد. پروتئین هیبرید EGFP و PeP به دلیل داشتن تریپتید SKI الگوی نقطه‌ای سبز رنگ در سلول‌های CHO (B) و سلول‌های P19 (E) از خود نشان می‌دهد. این نقاط سبز بیانگر وجود پراکسیزوم است. سازه PEPΔSKI از انتها الگوی سیتوپلاسمی یکنواخت نشان می‌دهد (C, F).
b: رنگ آمیزی ایمونو سیتوشیمی سلول‌های CHO-K1 ترانس فکت شده توسط آنتی کاتالاز EGFP-PeP دیده می‌شود در حالی که در همان زمینه پس از رنگ آمیزی با آنتی کاتالاز دانه‌های قرمز رنگ دیده می‌شود. پس از merge نمودن، دانه‌های زرد رنگ در سلول‌های CHO-K1 دیده می‌شود. تمام تصاویر با کمک میکروسکوپ فلورسنت گرفته شده است. مقیاس معادل ۲۰ میکرومتر است.

قرار گرفت. ایجاد پروتئین هیبرید بین پروتئین مورد مطالعه و پروتئین نشان دار یکی از راههای مناسب جهت ردیابی درون سلولی پروتئین مورد مطالعه است. از نمونه پروتئین های نشان دار می توان به EGFP اشاره کرد. EGFP پس از ورود به درون سلول پس از تابش نور UV به رنگ سبز دیده می شود. ذکر این نکته ضروری به نظر می رسد که اتصال نامناسب EGFP می تواند با پوشاندن سیگنال هدف یابی موجب انتقال نایه جای پروتئین های درون سلولی شود (۲۱). از آن جا که پروتئین هیبرید EGFP-PeP در پایانه کربوکسیل خود حاوی تریپتید SKI است در اندامک پراکسیزوم جای گیری می شود (۱۶، ۱۴) می توان نتیجه گرفت که اضافه نمودن EGFP به پایانه آمینی پروتئین PeP تاثیری بر هدف یابی داخل پروکسیزومی این پروتئین ندارد. بنابراین به منظور بررسی اهمیت وجود تریپتید SKI پروتئین EGFP cDNA در بالادست سازه PeP cDNA/ΔSKI ساخته شد تا هدف یابی درون سلولی پروتئین آن مورد بررسی قرار گیرد. پس از ترانس فکت نمودن موقعی سازه فوق در سلول های CHO P19 در سیتوپلاسم سلول های ترانس فکت شده، رنگ یکنواخت سبز مشاهده گردید که حالتی مشابه با ترانس فکشن موقعی سازه EGFP داشته است.

نتیجه گیری

به این ترتیب آشکار گردید که وجود تریپتید SKI در ورود پراکسیزومال پروتئین موشی لازم و ضروری است.

تقدیر و تشکر

بخش عمده هزینه های انجام این پژوهه از طرح مصوب پژوهشکده رویان به شماره ۱۴۸-۲ و بخشی از هزینه های انجام این پژوهه نیز از طرح مصوب دانشگاه اصفهان با عنوان "کلونینگ و ارزیابی عملکرد ساختار cDNA ژن پروتئین پراکسیزومی موش" به شماره ۸۵۱۰۱۷ به تاریخ ۸۵/۱۰/۱۷ تأمین گردید.

References

1. Suzuki Y, Shimozawa N, Imamura A, Fukuda S, Zhang Z, Orii T, et al. Clinical, biochemical and genetic aspects and neuronal migration in peroxisome biogenesis disorders. *J Inherit Metab Dis.* 2001; 24: 151-165.
2. Singh I, Carillo O, Namboodiri A. Isolation and biochemical characterization of peroxisomes from cultured Rat glial cells. *Neurochem Res.* 2000; 25(2): 197-203.
3. Wanders RJA, Waterham HR. Biochemistry of mammalian peroxisomes revisited. *Annu Rev Biochem.* 2006; 75: 295-332.
4. Hayashi M, Nishimura M. Entering a new era of research on plant peroxisomes. *Curr Opin Plant Biol.* 2003; 6: 577-582.
5. Furuki S , Tamura S , Matsumoto N , Miyata N, Moser A, Moser HW, et al. Mutations in the peroxin Pex26p responsible for peroxisome biogenesis disorders of complementation group 8 impair its stability, peroxisomal localization, and interaction with Pex1p-Pex6p complex. *J Biol Chem.* 2006; 281(3): 1317-1323.
6. Sheikh FG, Pahan K, Khan M, Barbosa E, Singh I. Abnormality in catalase import into peroxisomes leads to severe neurological disorder. *Proc Natl Acad Sci USA.* 1998; 95: 2961-2966.
7. Fransen M, Vastiau I, Brees C, Brys V, Mannaerts GP, Van Veldhoven PP. Analysis of human Pex19p's domain structure by pentapeptide scanning mutagenesis. *J Mol Biol.* 2005; 346: 1275-1286.
8. Vizeacoumar FJ, Torres-Guzman JC, Bouard D, Aitchison JD, Rachubinski RA. Pex30p, Pex31p, and Pex32p form a family of peroxisomal integral membrane proteins regulating peroxisome size and number in *Saccharomyces cerevisiae*. *Mol Biol Cell.* 2004; 15: 665- 677.
9. Lazarow PB, Fujiki Y. Biogenesis of peroxisomes. *Annu Rev Cell Biol.* 1985; 1: 489-530.
10. Kashiwayama Y, Asahina K, Shibata H, Morita M, Muntau AC, Roscher AA, et al. Role of Pex19p in the targeting of PMP70 to peroxisome. *Biochim Biophys Acta.* 2005; 1746: 116-128.
11. Schell-Steven A, Stein K, Amoros M, Landgraf C, Volkmer-Engert R, Rottensteiner H, et al. Identification of a novel, intraperoxisomal pex14-binding site in pex13: association of pex13 with the docking complex is essential for peroxisomal matrix protein import. *Mol Biol Cell.* 2005; 25(8): 3007-3018.
12. Saleem RA, Smith JJ, and Aitchison JD. Proteom-

بحث

در میان سلول های پستانداران، سلول های P19 از جمله سلول های تراتوکارسینوما می باشد که در حضور رتینوئیک اسید به نورون تمایز می یابند. این سلول ها به راحتی ترانس فکت شده و پس از گرفتن رده سلولی پایدار، می توان به مطالعه بیان ژن مورد نظر در زمان تمایز نورونی پرداخت. هم چنین به عنوان یک مدل سلولی مناسب جهت بررسی پروتئین های نورونی اولیه و بالغ در نظر گرفته می شوند (۱۷). سلول های CHO نیز به دلیل رشد آسان و سریع و ژنتیک هپیوپلولیتیدی که دارند به عنوان سلول های مدل کاربرد وسیع دارند (۱۸). بنابراین در این مطالعه با کمک تکنیک ایجاد موتاسیون هدف دار اثر حذف تریپتید SKI از انتهای پراکسیزومال پروتئین موشی در دوره سلولی ذکر شده مورد بررسی قرار گرفت. ایجاد موتاسیون هدف دار یکی از تکنیک های مهم در مطالعه بیان ژن و اهمیت قلمرو های مختلف در ساختمان پروتئین است.

یکی از پروتئین های تازه شناخته شده پراکسیزومی، پراکسیزومال پروتئین می باشد که تنها یک گزارش در مورد کلونینگ cDNA آن در موش وجود دارد (۱۴).

ساختار اصلی پراکسیزومال پروتئین موشی حاوی ۲۰۹ اسید آمینه می باشد که انتهای کربوکسیل آن دارای تریپتید SKI بوده و مشابه SKL است. SKL از ترادف های توافق شده برای PTS1 محسوب می شود. PTS1 یکی از دو سیگنال شناخته شده لازم برای انتقال پروتئین های ماتریکس پراکسیزومی است (۱۹). با وجودی که این سیگنال در هدف یابی پراکسیزومی دخالت داشته و در طی تکامل حفاظت شده است، اما آزمایشات مختلف نشان می دهد که امکان جایگزینی اسید آمینه لوسین با ایزو لوسین در محل سومین اسید آمینه وجود دارد. وجود SKI و AKI به عنوان سیگنال هدف یابی پراکسیزومی برای برخی از آنزیم ها در *Candida tropicalis* شده است (۲۰). به منظور بررسی اهمیت وجود تریپتید SKI در انتهای پروتئین cDNA، سازه EGFP-PeP/ΔSKI با استفاده از ایجاد از هیبرید حاصله مورد بررسی شمر، هدف یابی درون سلولی پروتئین هیبرید حاصله مورد بررسی

- ics of the peroxisome. *Biochim Biophys Acta.* 2006; 1763(12): 1541-1551.
13. Swinkels BW, Gould SJ, Bodnar AG, Rachubinski RA, Subramani S. A novel, cleavable peroxisomal targeting signal at the aminoterminus of the rat 3-ketoacyl-CoA thiolase. *EMBO J.* 1991; 10: 3255-3262.
 14. Ferrer-Martinez A, Ruiz-Lozano P, Chien KR. Mouse PeP: A novel peroxisomal protein linked to myoblast differentiation and development. *Dev Dyn.* 2002; 224: 154-167.
 15. Mcpherson, MJ, Moller, SG. PCR mutagenesis. 1st ed. New York:BIOS Scientific Publishers Limited; 2001; 143-180.
 16. Tanhaie S, Ghaedi K, Karbalaii K, Razavi S, Ostadsharif M, Nazari-Jahantigh M, et al. Mouse PEP cDNA cloning and characterization of its intracellular localization. *Yakheth.* 2009; 11(42): 190-197.
 17. Aronov A, Aranda G, Behar L, Ginzburg I. Axonal Tau mRNA localization coincides with Tau Protein in living neuronal cells and depends on axonal targeting signal. *Neurosci.* 2001; 21(17): 6577-6587.
 18. Ghaedi K, Fujiki Y. Isolation and characterization of novel phenotype CHO cell mutants defective in peroxisome assembly, using ICR191 as a potent mutagenic agent. 2008; 26: 684-691.
 19. Elgersma Y, Vos A, van den Berg M, van Roermund CWT, van der Sluijs P, Distel B, et al. Analysis of the carboxyl-terminal peroxisomal targeting signal 1 in a homologous context in *Saccharomyces cerevisiae*. *J Biol Chem.* 1996; 271: 26375-26382.
 20. Grant DF, Storms DH, Hammock BD. Molecular cloning and expression of murine liver soluble epoxide hydrolase. *J Biol Chem.* 1993; 268: 17628-17633.
 21. Jones JM, Morrell JC, Gould SJ. Multiple distinct targeting signals in integral peroxisomal membrane proteins. *J Cell Biol.* 2001; 153(6): 1141-1150.